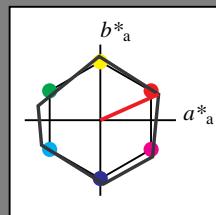


### Eingabe: Farbmétrisches Reflexions-System NRS11

für Buntton  $h^* = lab \cdot h = 24/360 = 0.067$   
 $lab \cdot tch$  und  $lab \cdot nch$

D65: Buntton R  
LCH\*Ma: 53 84 24  
rgb\*Ma: 1.0 0.0 0.0



NRS11; adaptierte CIELAB-Daten					
	$L^*=L^*_a$	$a^*_a$	$b^*_a$	$C^*_{ab,a}$	$h^*_{ab,a}$
RMa	53.2	77.06	34.32	84.36	24
JMa	53.2	-1.51	84.38	84.39	91
GMa	53.2	-82.27	18.98	84.44	167
G50BMa	53.2	-77.72	-32.98	84.44	203
BMa	53.2	4.37	-84.28	84.41	273
B50RMa	53.2	69.09	-48.41	84.37	325
NMa	10.99	0.0	0.0	0.0	0
WMa	95.41	0.0	0.0	0.0	0
RCIE	39.92	58.69	27.98	65.01	25
JCIE	81.26	-2.9	71.56	71.62	92
GCIE	52.23	-42.45	13.59	44.59	162
BCIE	30.57	1.35	-46.48	46.51	272

Dreiecks-Helligkeit  $t^*$

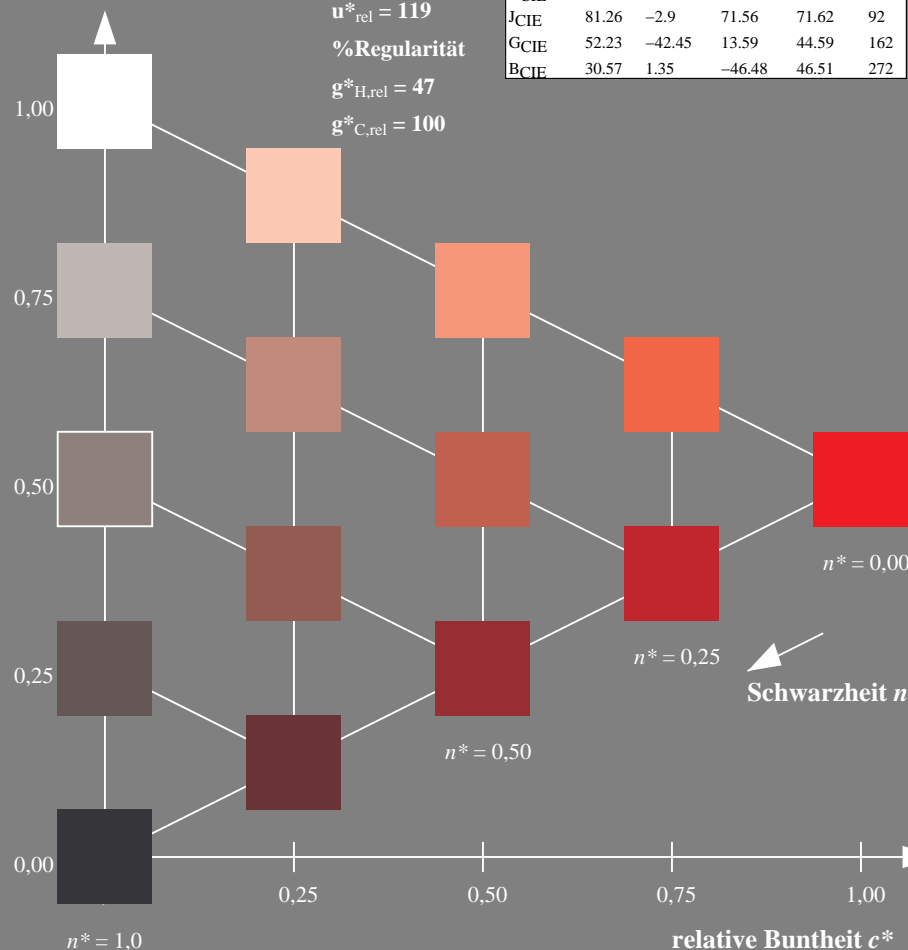
%Umfang

$u^*_{rel} = 119$

%Regularität

$g^*_{H,rel} = 47$

$g^*_{C,rel} = 100$

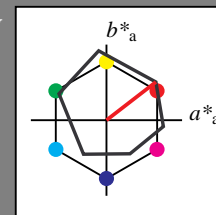


UG270-7, 5 stufige Reihen für konstanten CIELAB Buntton 24/360 = 0.067 (links)

### Ausgabe: Farbmétrisches Reflexions-System ORS18

für Buntton  $h^* = lab \cdot h = 38/360 = 0.105$   
 $LAB \cdot LCH$ ,  $LAB \cdot NCH$

D65: Buntton O  
LCH\*Ma: 48 83 38  
rgb\*Ma: 1.0 0.0 0.0



ORS18; adaptierte CIELAB-Daten					
	$L^*=L^*_a$	$a^*_a$	$b^*_a$	$C^*_{ab,a}$	$h^*_{ab,a}$
OMa	47.94	65.37	50.52	82.62	38
YMa	90.37	-10.27	91.77	92.34	96
LMa	50.9	-62.79	34.95	71.87	151
CMa	58.62	-30.35	-45.01	54.3	236
VMa	25.71	31.11	-44.42	54.24	305
MMa	48.13	75.27	-8.35	75.73	354
NMa	18.01	0.0	0.0	0.0	0
WMa	95.41	0.0	0.0	0.0	0
RCIE	39.92	58.66	26.98	64.56	25
JCIE	81.26	-2.17	67.76	67.79	92
GCIE	52.23	-42.26	11.75	43.87	164
BCIE	30.57	1.15	-46.84	46.87	271

CIELAB-Helligkeit  $L^*$

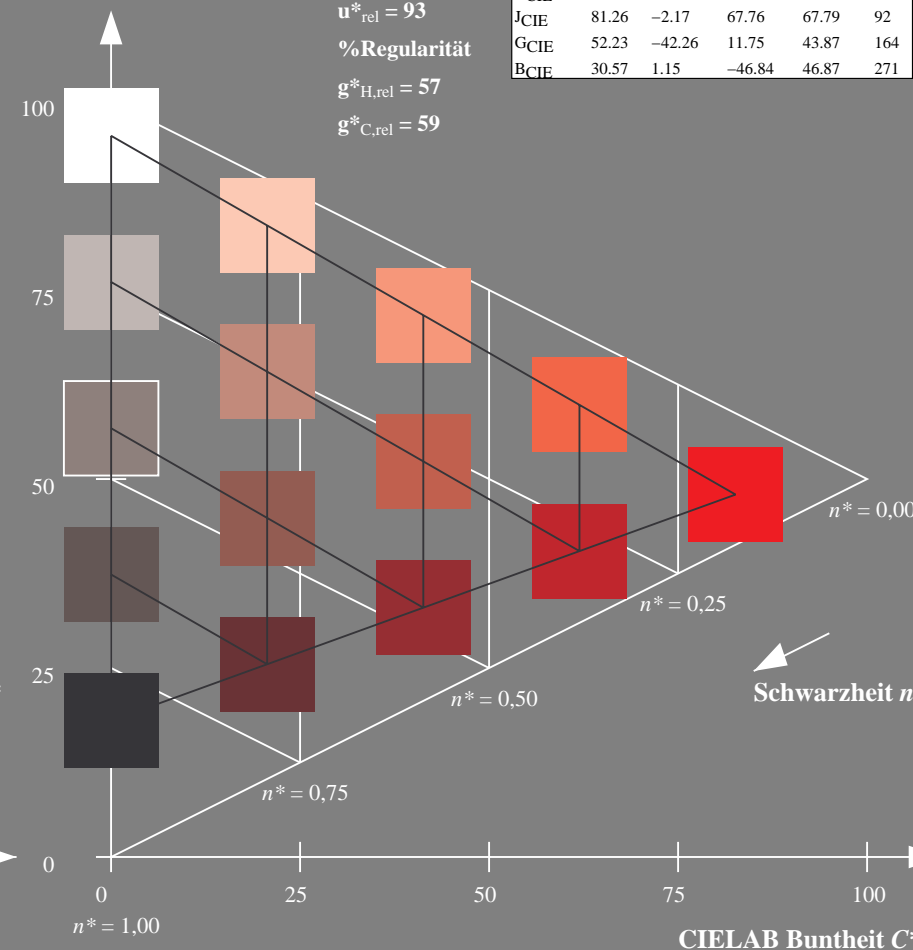
%Umfang

$u^*_{rel} = 93$

%Regularität

$g^*_{H,rel} = 57$

$g^*_{C,rel} = 59$



5 stufige Reihen für konstanten CIELAB Buntton 38/360 = 0.105 (rechts)

BAM-Prüfvorlage UG27; Farbmétrik-Systeme NRS11 & ORS18input:  $cmY0^* setcmykcolor$

D65: Koordinaten-Systeme von 5stufigen Farbreihen für 10 Bunttoninput: no change compared to input

### Eingabe: Farbmimetrisches Reflexions-System NRS11

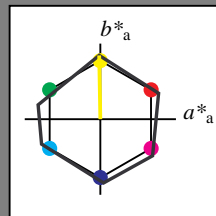
für Buntton  $h^* = lab^*h = 91/360 = 0.253$

$lab^*tch$  und  $lab^*nch$

D65: Buntton J

LCH\*Ma: 53 84 91

rgb\*Ma: 1.0 1.0 0.0



#### NRS11; adaptierte CIELAB-Daten

	$L^*=L^*_a$	$a^*_a$	$b^*_a$	$C^*_{ab,a}$	$h^*_{ab,a}$
RMa	53.2	77.06	34.32	84.36	24
JMa	53.2	-1.51	84.38	84.39	91
GMa	53.2	-82.27	18.98	84.44	167
G50B <sub>Ma</sub>	53.2	-77.72	-32.98	84.44	203
B <sub>Ma</sub>	53.2	4.37	-84.28	84.41	273
B50R <sub>Ma</sub>	53.2	69.09	-48.41	84.37	325
N <sub>Ma</sub>	10.99	0.0	0.0	0.0	0
W <sub>Ma</sub>	95.41	0.0	0.0	0.0	0
RCIE	39.92	58.69	27.98	65.01	25
JCIE	81.26	-2.9	71.56	71.62	92
GCIE	52.23	-42.45	13.59	44.59	162
BCIE	30.57	1.35	-46.48	46.51	272

Dreiecks-Helligkeit  $t^*$

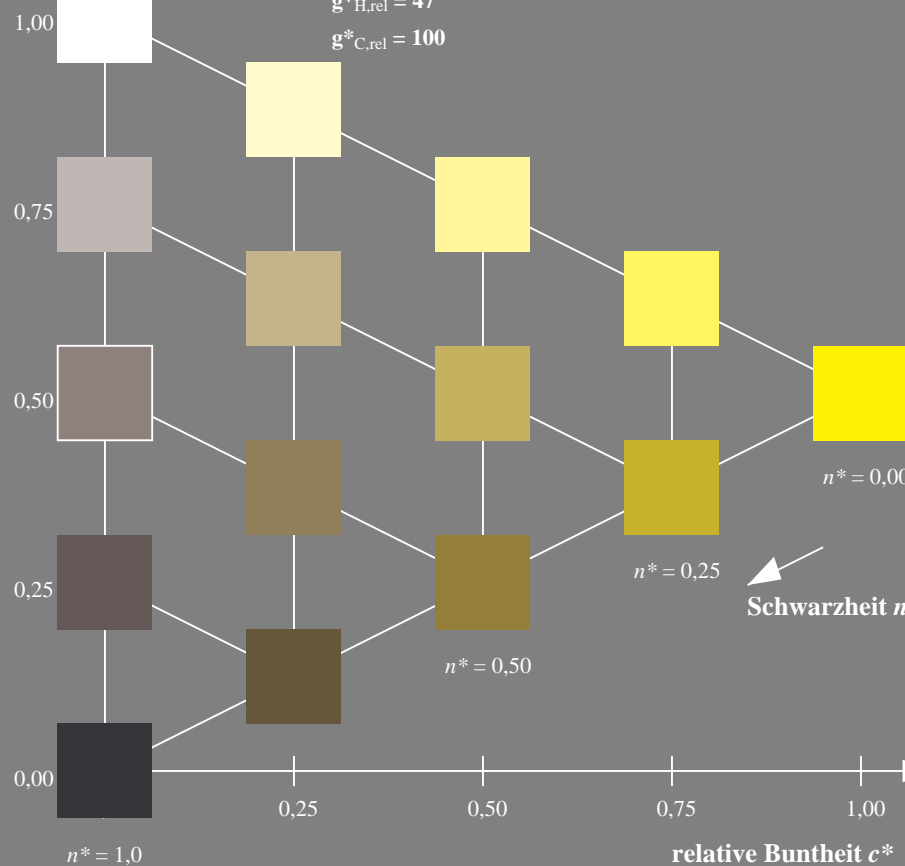
%Umfang

$u^*_{rel} = 119$

%Regularität

$g^*_{H,rel} = 47$

$g^*_{C,rel} = 100$



UG270-7, 5 stufige Reihen für konstanten CIELAB Buntton 91/360 = 0.253 (links)

### Ausgabe: Farbmimetrisches Reflexions-System ORS18

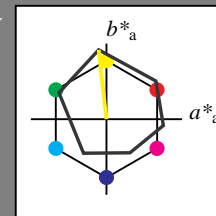
für Buntton  $h^* = lab^*h = 96/360 = 0.268$

$LAB^*LCH$ ,  $LAB^*NCH$

D65: Buntton Y

LCH\*Ma: 90 92 96

rgb\*Ma: 1.0 1.0 0.0



#### ORS18; adaptierte CIELAB-Daten

	$L^*=L^*_a$	$a^*_a$	$b^*_a$	$C^*_{ab,a}$	$h^*_{ab,a}$
OMa	47.94	65.37	50.52	82.62	38
YMa	90.37	-10.27	91.77	92.34	96
LMa	50.9	-62.79	34.95	71.87	151
CMa	58.62	-30.35	-45.01	54.3	236
V <sub>Ma</sub>	25.71	31.11	-44.42	54.24	305
M <sub>Ma</sub>	48.13	75.27	-8.35	75.73	354
N <sub>Ma</sub>	18.01	0.0	0.0	0.0	0
W <sub>Ma</sub>	95.41	0.0	0.0	0.0	0
RCIE	39.92	58.66	26.98	64.56	25
JCIE	81.26	-2.17	67.76	67.79	92
GCIE	52.23	-42.26	11.75	43.87	164
BCIE	30.57	1.15	-46.84	46.87	271

CIELAB-Helligkeit  $L^*$

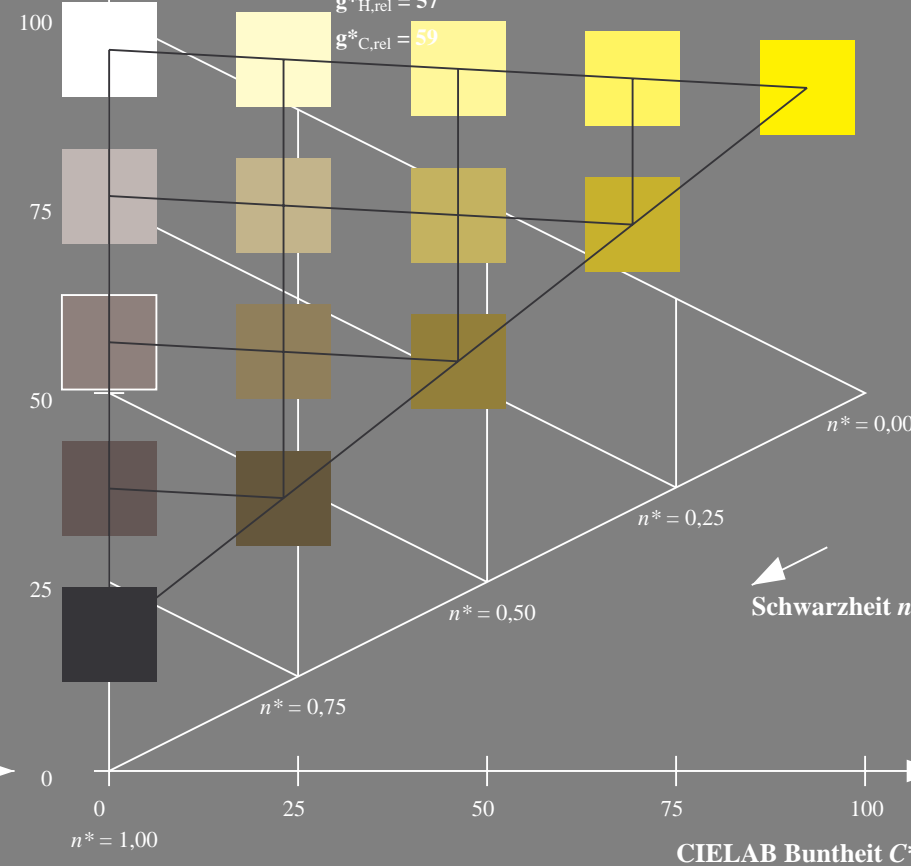
%Umfang

$u^*_{rel} = 93$

%Regularität

$g^*_{H,rel} = 57$

$g^*_{C,rel} = 59$



5 stufige Reihen für konstanten CIELAB Buntton 96/360 = 0.268 (rechts)

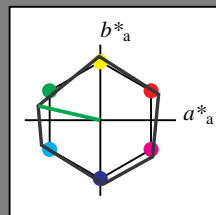
BAM-Prüfvorlage UG27; Farbmimetrik-Systeme NRS11 & ORS18input:  $cmY0^* setcmykcolor$

D65: Koordinaten-Systeme von 5stufigen Farbreihen für 10 Bunttoninput: no change compared to input

### Eingabe: Farbmimetrisches Reflexions-System NRS11

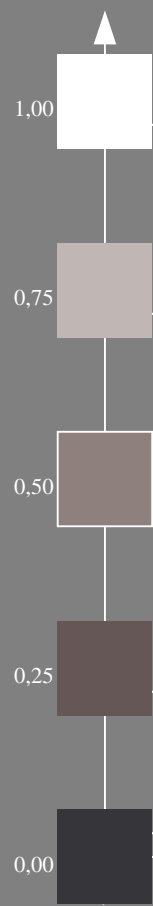
für Buntton  $h^* = lab^*h = 167/360 = 0.464$   
 $lab^*tch$  und  $lab^*nch$

D65: Buntton G  
LCH\*Ma: 53 84 167  
rgb\*Ma: 0.0 1.0 0.0



NRS11; adaptierte CIELAB-Daten					
	$L^*=L^*_a$	$a^*_a$	$b^*_a$	$C^*_{ab,a}$	$h^*_{ab,a}$
RMa	53.2	77.06	34.32	84.36	24
JMa	53.2	-1.51	84.38	84.39	91
GMa	53.2	-82.27	18.98	84.44	167
G50BMa	53.2	-77.72	-32.98	84.44	203
BMa	53.2	4.37	-84.28	84.41	273
B50RMa	53.2	69.09	-48.41	84.37	325
NMa	10.99	0.0	0.0	0.0	0
WMa	95.41	0.0	0.0	0.0	0
RCIE	39.92	58.69	27.98	65.01	25
JCIE	81.26	-2.9	71.56	71.62	92
GCIE	52.23	-42.45	13.59	44.59	162
BCIE	30.57	1.35	-46.48	46.51	272

Dreiecks-Helligkeit  $t^*$

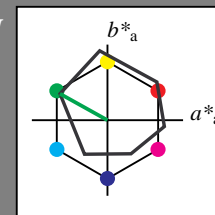


%Umfang  
 $u^*_{rel} = 119$   
%Regularität  
 $g^*_{H,rel} = 47$   
 $g^*_{C,rel} = 100$

### Ausgabe: Farbmimetrisches Reflexions-System ORS18

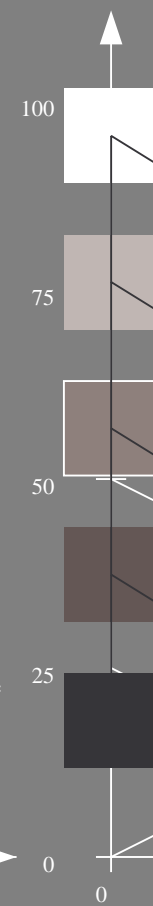
für Buntton  $h^* = lab^*h = 151/360 = 0.419$   
 $LAB^*LCH$ ,  $LAB^*NCH$

D65: Buntton L  
LCH\*Ma: 51 72 151  
rgb\*Ma: 0.0 1.0 0.0



ORS18; adaptierte CIELAB-Daten					
	$L^*=L^*_a$	$a^*_a$	$b^*_a$	$C^*_{ab,a}$	$h^*_{ab,a}$
OMa	47.94	65.37	50.52	82.62	38
YMa	90.37	-10.27	91.77	92.34	96
LMa	50.9	-62.79	34.95	71.87	151
CMa	58.62	-30.35	-45.01	54.3	236
VMa	25.71	31.11	-44.42	54.24	305
MMa	48.13	75.27	-8.35	75.73	354
NMa	18.01	0.0	0.0	0.0	0
WMa	95.41	0.0	0.0	0.0	0
RCIE	39.92	58.66	26.98	64.56	25
JCIE	81.26	-2.17	67.76	67.79	92
GCIE	52.23	-42.26	11.75	43.87	164
BCIE	30.57	1.15	-46.84	46.87	271

CIELAB-Helligkeit  $L^*$



%Umfang  
 $u^*_{rel} = 93$   
%Regularität  
 $g^*_{H,rel} = 57$   
 $g^*_{C,rel} = 59$

UG270-7, 5 stufige Reihen für konstanten CIELAB Buntton  $167/360 = 0.464$  (links)

5 stufige Reihen für konstanten CIELAB Buntton  $151/360 = 0.419$  (rechts)

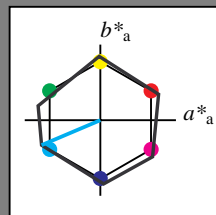
BAM-Prüfvorlage UG27; Farbmimetrische Systeme NRS11 & ORS18input:  $cmY0^*setcmykcolor$

D65: Koordinaten-Systeme von 5stufigen Farbreihen für 10 Bunttoninput: no change compared to input

### Eingabe: Farbmimetrisches Reflexions-System NRS11

für Buntton  $h^* = lab \cdot h = 203/360 = 0.564$   
 $lab \cdot tch$  und  $lab \cdot nch$

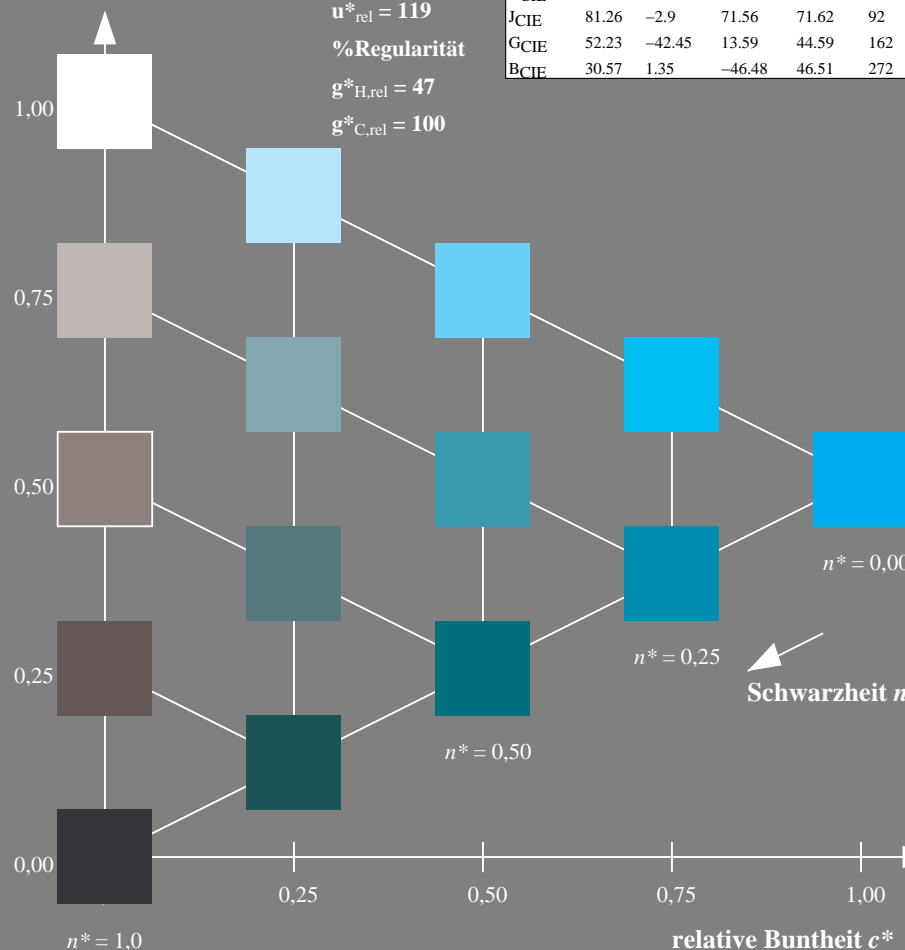
D65: Buntton G50B  
LCH\*Ma: 53 84 203  
rgb\*Ma: 0.0 1.0 1.0



NRS11; adaptierte CIELAB-Daten					
	$L^*=L^*_a$	$a^*_a$	$b^*_a$	$C^*_{ab,a}$	$h^*_{ab,a}$
RMa	53.2	77.06	34.32	84.36	24
JMa	53.2	-1.51	84.38	84.39	91
GMa	53.2	-82.27	18.98	84.44	167
G50BMa	53.2	-77.72	-32.98	84.44	203
BMa	53.2	4.37	-84.28	84.41	273
B50RMa	53.2	69.09	-48.41	84.37	325
NMa	10.99	0.0	0.0	0.0	0
WMa	95.41	0.0	0.0	0.0	0
RCIE	39.92	58.69	27.98	65.01	25
JCIE	81.26	-2.9	71.56	71.62	92
GCIE	52.23	-42.45	13.59	44.59	162
BCIE	30.57	1.35	-46.48	46.51	272

Dreiecks-Helligkeit  $t^*$

%Umfang  
 $u^*_{rel} = 119$   
%Regularität  
 $g^*_{H,rel} = 47$   
 $g^*_{C,rel} = 100$

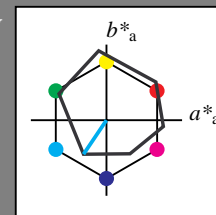


UG270-7, 5 stufige Reihen für konstanten CIELAB Buntton 203/360 = 0.564 (links)

### Ausgabe: Farbmimetrisches Reflexions-System ORS18

für Buntton  $h^* = lab \cdot h = 236/360 = 0.656$   
 $LAB \cdot LCH$ ,  $LAB \cdot NCH$

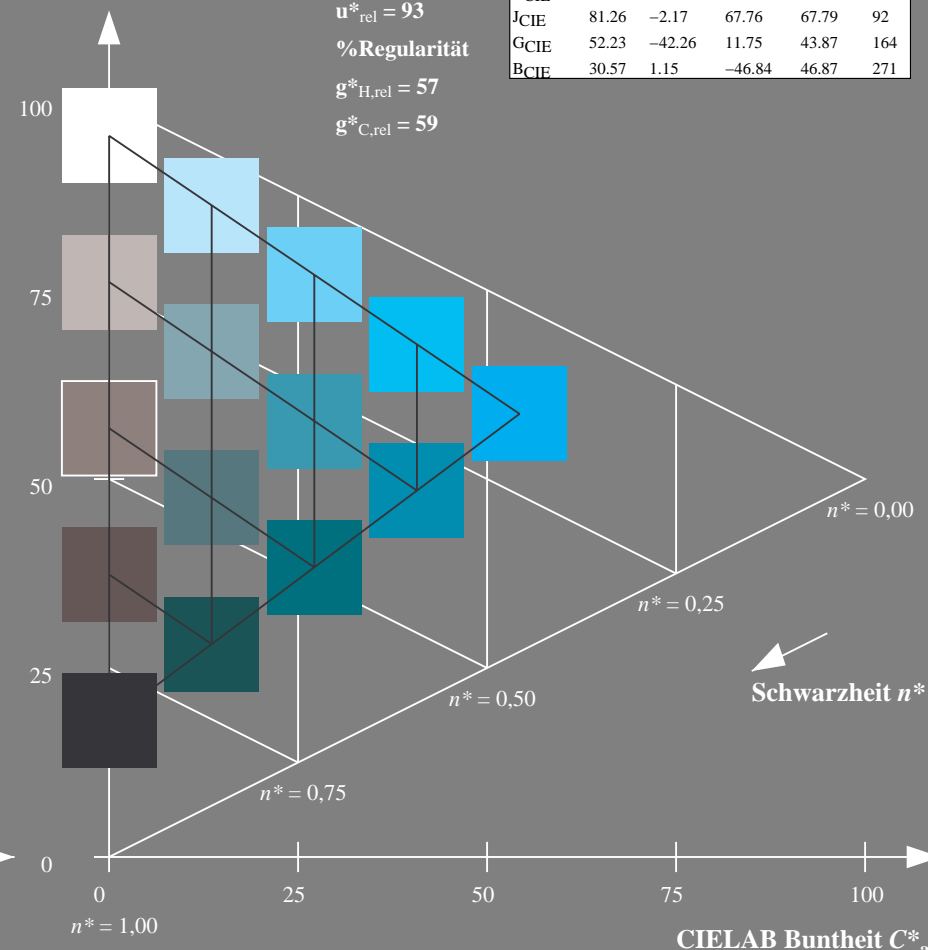
D65: Buntton C  
LCH\*Ma: 59 54 236  
rgb\*Ma: 0.0 1.0 1.0



ORS18; adaptierte CIELAB-Daten					
	$L^*=L^*_a$	$a^*_a$	$b^*_a$	$C^*_{ab,a}$	$h^*_{ab,a}$
OMa	47.94	65.37	50.52	82.62	38
YMa	90.37	-10.27	91.77	92.34	96
LMa	50.9	-62.79	34.95	71.87	151
CMa	58.62	-30.35	-45.01	54.3	236
VMa	25.71	31.11	-44.42	54.24	305
MMa	48.13	75.27	-8.35	75.73	354
NMa	18.01	0.0	0.0	0.0	0
WMa	95.41	0.0	0.0	0.0	0
RCIE	39.92	58.66	26.98	64.56	25
JCIE	81.26	-2.17	67.76	67.79	92
GCIE	52.23	-42.26	11.75	43.87	164
BCIE	30.57	1.15	-46.84	46.87	271

CIELAB-Helligkeit  $L^*$

%Umfang  
 $u^*_{rel} = 93$   
%Regularität  
 $g^*_{H,rel} = 57$   
 $g^*_{C,rel} = 59$



5 stufige Reihen für konstanten CIELAB Buntton 236/360 = 0.656 (rechts)

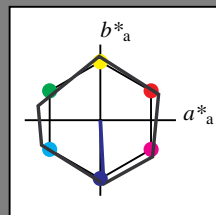
BAM-Prüfvorlage UG27; Farbmimetrik-Systeme NRS11 & ORS18input:  $cm y0^* set cmykcolor$

D65: Koordinaten-Systeme von 5stufigen Farbreihen für 10 Bunttoninput: no change compared to input

### Eingabe: Farbmimetrisches Reflexions-System NRS11

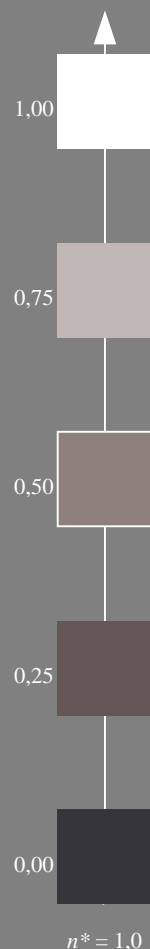
für Buntton  $h^* = lab^*h = 273/360 = 0.758$   
 $lab^*tch$  und  $lab^*nch$

D65: Buntton B  
LCH\*Ma: 53 84 273  
rgb\*Ma: 0.0 0.0 1.0



NRS11; adaptierte CIELAB-Daten					
	$L^*=L^*_a$	$a^*_a$	$b^*_a$	$C^*_{ab,a}$	$h^*_{ab,a}$
RMa	53.2	77.06	34.32	84.36	24
JMa	53.2	-1.51	84.38	84.39	91
GMa	53.2	-82.27	18.98	84.44	167
G50BMa	53.2	-77.72	-32.98	84.44	203
BMa	53.2	4.37	-84.28	84.41	273
B50RMa	53.2	69.09	-48.41	84.37	325
NMa	10.99	0.0	0.0	0.0	0
WMa	95.41	0.0	0.0	0.0	0
RCIE	39.92	58.69	27.98	65.01	25
JCIE	81.26	-2.9	71.56	71.62	92
GCIE	52.23	-42.45	13.59	44.59	162
BCIE	30.57	1.35	-46.48	46.51	272

Dreiecks-Helligkeit  $t^*$

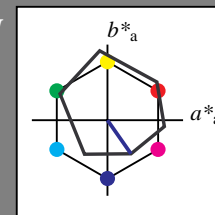


%Umfang  
 $u^*_{rel} = 119$   
%Regularität  
 $g^*_{H,rel} = 47$   
 $g^*_{C,rel} = 100$

### Ausgabe: Farbmimetrisches Reflexions-System ORS18

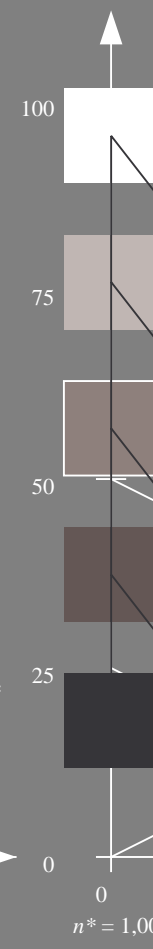
für Buntton  $h^* = lab^*h = 305/360 = 0.847$   
 $LAB^*LCH$ ,  $LAB^*NCH$

D65: Buntton V  
LCH\*Ma: 26 54 305  
rgb\*Ma: 0.0 0.0 1.0



ORS18; adaptierte CIELAB-Daten					
	$L^*=L^*_a$	$a^*_a$	$b^*_a$	$C^*_{ab,a}$	$h^*_{ab,a}$
OMa	47.94	65.37	50.52	82.62	38
YMa	90.37	-10.27	91.77	92.34	96
LMa	50.9	-62.79	34.95	71.87	151
CMa	58.62	-30.35	-45.01	54.3	236
VMa	25.71	31.11	-44.42	54.24	305
MMa	48.13	75.27	-8.35	75.73	354
NMa	18.01	0.0	0.0	0.0	0
WMa	95.41	0.0	0.0	0.0	0
RCIE	39.92	58.66	26.98	64.56	25
JCIE	81.26	-2.17	67.76	67.79	92
GCIE	52.23	-42.26	11.75	43.87	164
BCIE	30.57	1.15	-46.84	46.87	271

CIELAB-Helligkeit  $L^*$



%Umfang  
 $u^*_{rel} = 93$   
%Regularität  
 $g^*_{H,rel} = 57$   
 $g^*_{C,rel} = 59$

UG270-7, 5 stufige Reihen für konstanten CIELAB Buntton 273/360 = 0.758 (links)

5 stufige Reihen für konstanten CIELAB Buntton 305/360 = 0.847 (rechts)

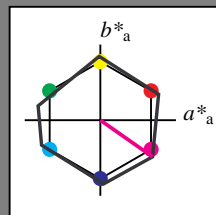
BAM-Prüfvorlage UG27; Farbmimetrik-Systeme NRS11 & ORS18input:  $cm y0^* set cmykcolor$

D65: Koordinaten-Systeme von 5stufigen Farbreihen für 10 Bunttoninput: no change compared to input

### Eingabe: Farbmimetrisches Reflexions-System NRS11

für Buntton  $h^* = lab^*h = 325/360 = 0.903$   
 $lab^*tch$  und  $lab^*nch$

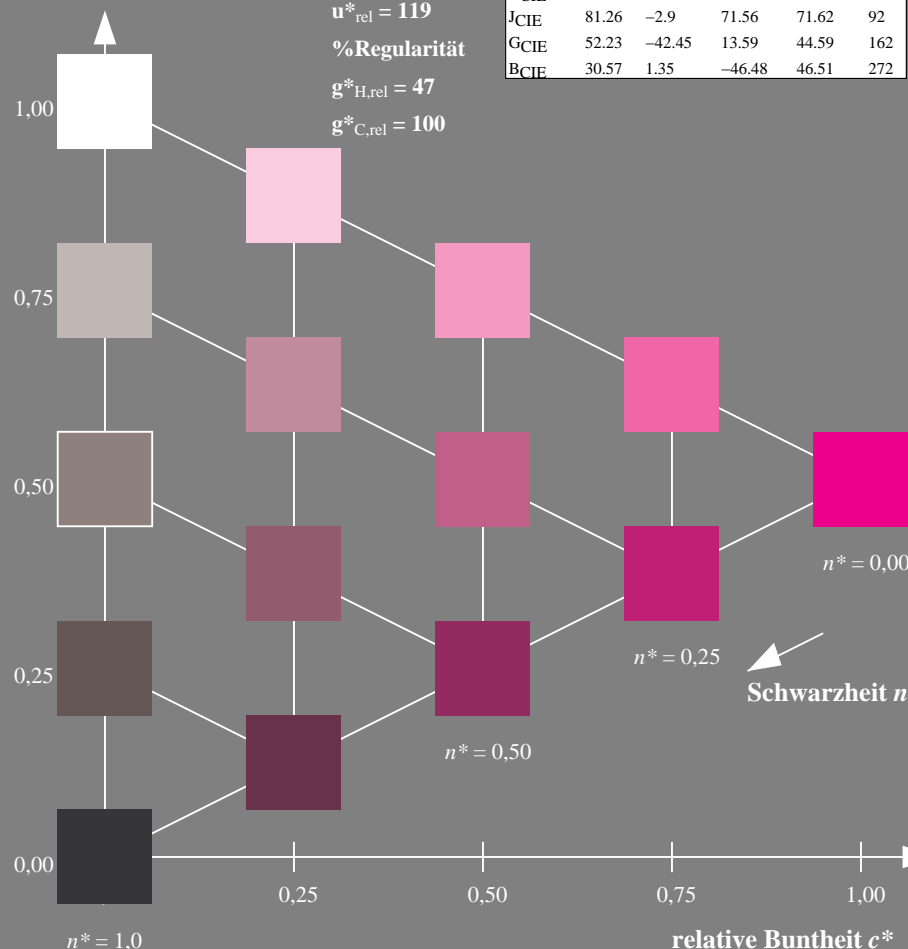
D65: Buntton B50R  
LCH\*Ma: 53 84 325  
rgb\*Ma: 1.0 0.0 1.0



NRS11; adaptierte CIELAB-Daten					
	$L^*=L^*_a$	$a^*_a$	$b^*_a$	$C^*_{ab,a}$	$h^*_{ab,a}$
RMa	53.2	77.06	34.32	84.36	24
JMa	53.2	-1.51	84.38	84.39	91
GMa	53.2	-82.27	18.98	84.44	167
G50BMa	53.2	-77.72	-32.98	84.44	203
BMa	53.2	4.37	-84.28	84.41	273
B50RMa	53.2	69.09	-48.41	84.37	325
NMa	10.99	0.0	0.0	0.0	0
WMa	95.41	0.0	0.0	0.0	0
RCIE	39.92	58.69	27.98	65.01	25
JCIE	81.26	-2.9	71.56	71.62	92
GCIE	52.23	-42.45	13.59	44.59	162
BCIE	30.57	1.35	-46.48	46.51	272

Dreiecks-Helligkeit  $t^*$

%Umfang  
 $u^*_{rel} = 119$   
%Regularität  
 $g^*_{H,rel} = 47$   
 $g^*_{C,rel} = 100$

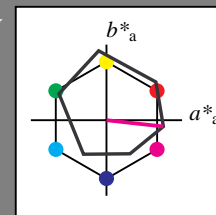


UG270-7, 5 stufige Reihen für konstanten CIELAB Buntton 325/360 = 0.903 (links)

### Ausgabe: Farbmimetrisches Reflexions-System ORS18

für Buntton  $h^* = lab^*h = 354/360 = 0.982$   
 $LAB^*LCH$ ,  $LAB^*NCH$

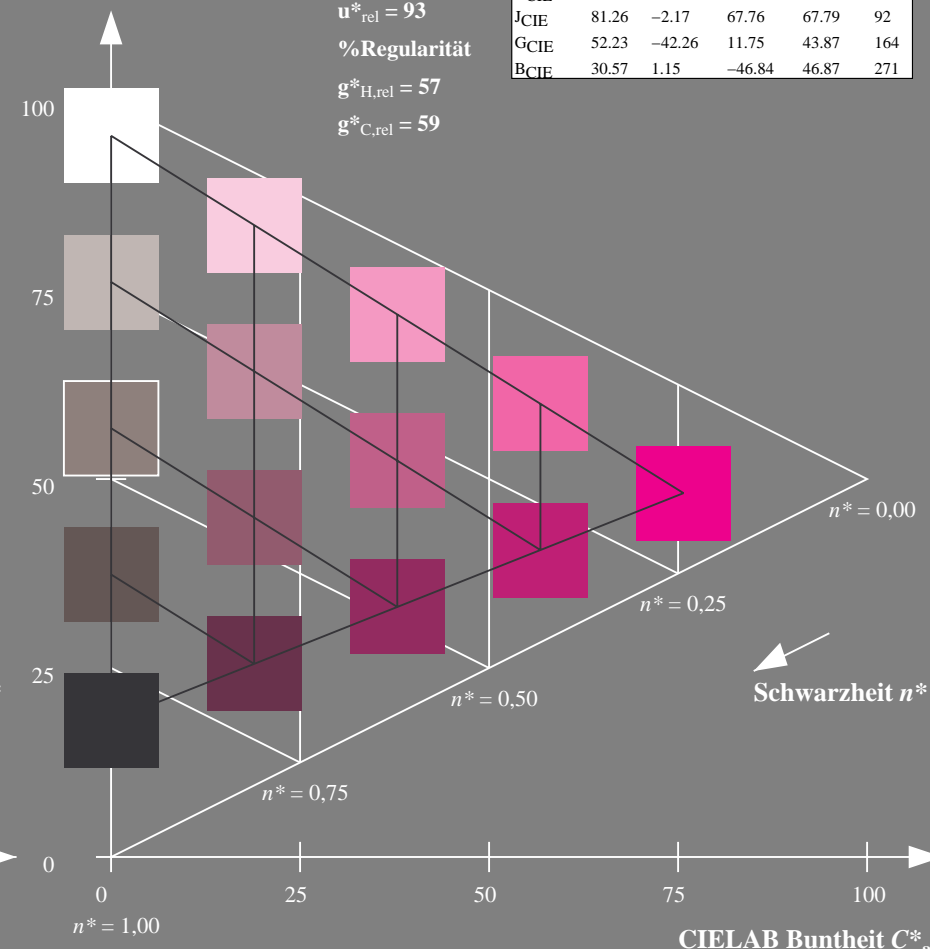
D65: Buntton M  
LCH\*Ma: 48 76 354  
rgb\*Ma: 1.0 0.0 1.0



ORS18; adaptierte CIELAB-Daten					
	$L^*=L^*_a$	$a^*_a$	$b^*_a$	$C^*_{ab,a}$	$h^*_{ab,a}$
OMa	47.94	65.37	50.52	82.62	38
YMa	90.37	-10.27	91.77	92.34	96
LMa	50.9	-62.79	34.95	71.87	151
CMa	58.62	-30.35	-45.01	54.3	236
VMa	25.71	31.11	-44.42	54.24	305
MMa	48.13	75.27	-8.35	75.73	354
NMa	18.01	0.0	0.0	0.0	0
WMa	95.41	0.0	0.0	0.0	0
RCIE	39.92	58.66	26.98	64.56	25
JCIE	81.26	-2.17	67.76	67.79	92
GCIE	52.23	-42.26	11.75	43.87	164
BCIE	30.57	1.15	-46.84	46.87	271

CIELAB-Helligkeit  $L^*$

%Umfang  
 $u^*_{rel} = 93$   
%Regularität  
 $g^*_{H,rel} = 57$   
 $g^*_{C,rel} = 59$



5 stufige Reihen für konstanten CIELAB Buntton 354/360 = 0.982 (rechts)

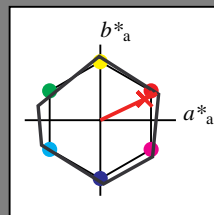
BAM-Prüfvorlage UG27; Farbmimetrische Systeme NRS11 & ORS18input:  $cmY0^* setcmykcolor$

D65: Koordinaten-Systeme von 5stufigen Farbreihen für 10 Bunttoninput: no change compared to input

### Eingabe: Farbmimetrisches Reflexions-System NRS11

für Buntton  $h^* = lab^*h = 25/360 = 0.071$   
 $lab^*tch$  und  $lab^*nch$

D65: Buntton R  
LCH\*Ma: 53 83 25  
rgb\*Ma: 1.0 0.03 0.0



#### NRS11; adaptierte CIELAB-Daten

	$L^*=L^*_a$	$a^*_a$	$b^*_a$	$C^*_{ab,a}$	$h^*_{ab,a}$
RMa	53.2	77.06	34.32	84.36	24
JMa	53.2	-1.51	84.38	84.39	91
GMa	53.2	-82.27	18.98	84.44	167
G50B <sub>Ma</sub>	53.2	-77.72	-32.98	84.44	203
B <sub>Ma</sub>	53.2	4.37	-84.28	84.41	273
B50R <sub>Ma</sub>	53.2	69.09	-48.41	84.37	325
N <sub>Ma</sub>	10.99	0.0	0.0	0.0	0
W <sub>Ma</sub>	95.41	0.0	0.0	0.0	0
RCIE	39.92	58.69	27.98	65.01	25
JCIE	81.26	-2.9	71.56	71.62	92
GCIE	52.23	-42.45	13.59	44.59	162
BCIE	30.57	1.35	-46.48	46.51	272

Dreiecks-Helligkeit  $t^*$

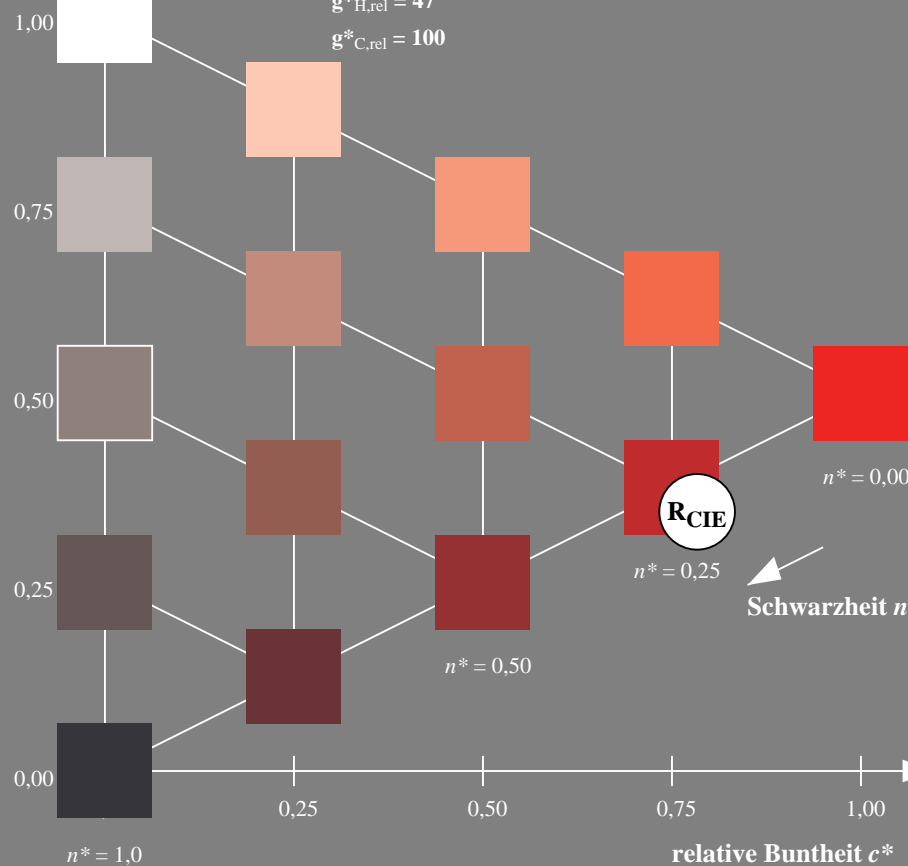
%Umfang

$u^*_{rel} = 119$

%Regularität

$g^*_{H,rel} = 47$

$g^*_{C,rel} = 100$

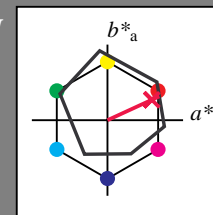


UG270-7, 5 stufige Reihen für konstanten CIELAB Buntton 25/360 = 0.071 (links)

### Ausgabe: Farbmimetrisches Reflexions-System ORS18

für Buntton  $h^* = lab^*h = 25/360 = 0.069$   
 $LAB^*LCH$ ,  $LAB^*NCH$

D65: Buntton R  
LCH\*Ma: 48 75 25  
rgb\*Ma: 1.0 0.0 0.32



#### ORS18; adaptierte CIELAB-Daten

	$L^*=L^*_a$	$a^*_a$	$b^*_a$	$C^*_{ab,a}$	$h^*_{ab,a}$
OMa	47.94	65.37	50.52	82.62	38
YMa	90.37	-10.27	91.77	92.34	96
LMa	50.9	-62.79	34.95	71.87	151
CMa	58.62	-30.35	-45.01	54.3	236
V <sub>Ma</sub>	25.71	31.11	-44.42	54.24	305
M <sub>Ma</sub>	48.13	75.27	-8.35	75.73	354
N <sub>Ma</sub>	18.01	0.0	0.0	0.0	0
W <sub>Ma</sub>	95.41	0.0	0.0	0.0	0
RCIE	39.92	58.66	26.98	64.56	25
JCIE	81.26	-2.17	67.76	67.79	92
GCIE	52.23	-42.26	11.75	43.87	164
BCIE	30.57	1.15	-46.84	46.87	271

CIELAB-Helligkeit  $L^*$

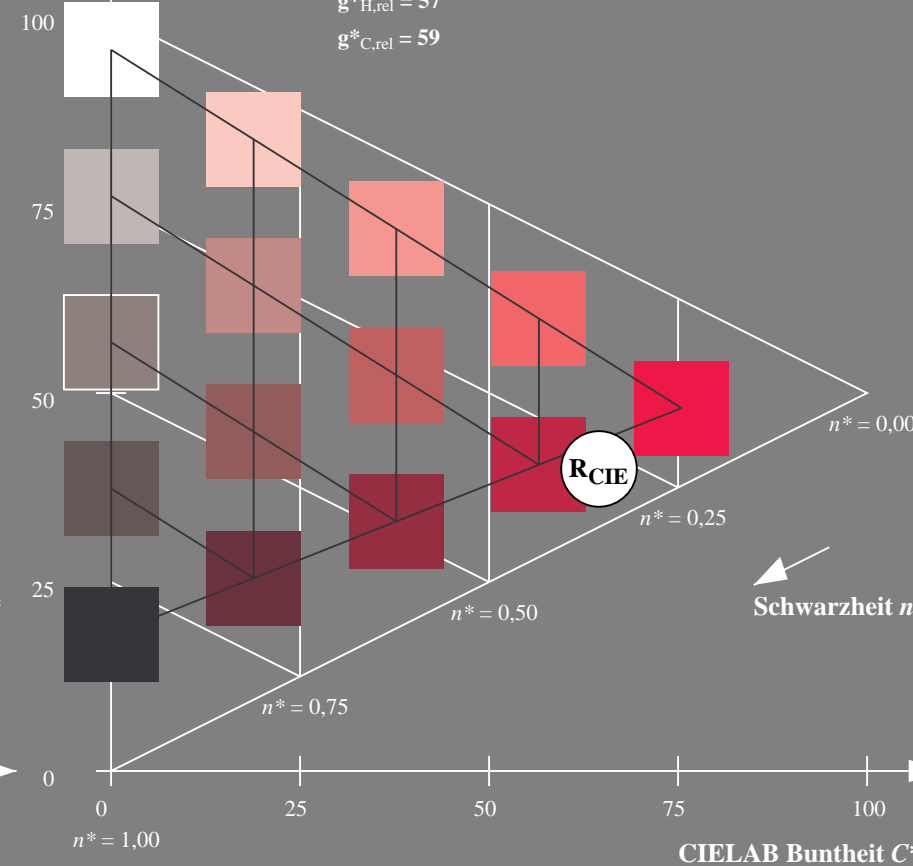
%Umfang

$u^*_{rel} = 93$

%Regularität

$g^*_{H,rel} = 57$

$g^*_{C,rel} = 59$



5 stufige Reihen für konstanten CIELAB Buntton 25/360 = 0.069 (rechts)

BAM-Prüfvorlage UG27; Farbmimetrische Systeme NRS11 & ORS18input:  $cmY0^* setcmykcolor$

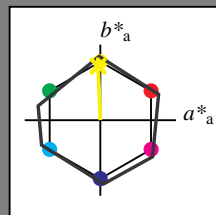
D65: Koordinaten-Systeme von 5stufigen Farbreihen für 10 Bunttoninput: no change compared to input



### Eingabe: Farbmimetrisches Reflexions-System NRS11

für Buntton  $h^* = lab^*h = 92/360 = 0.256$   
 $lab^*tch$  und  $lab^*nch$

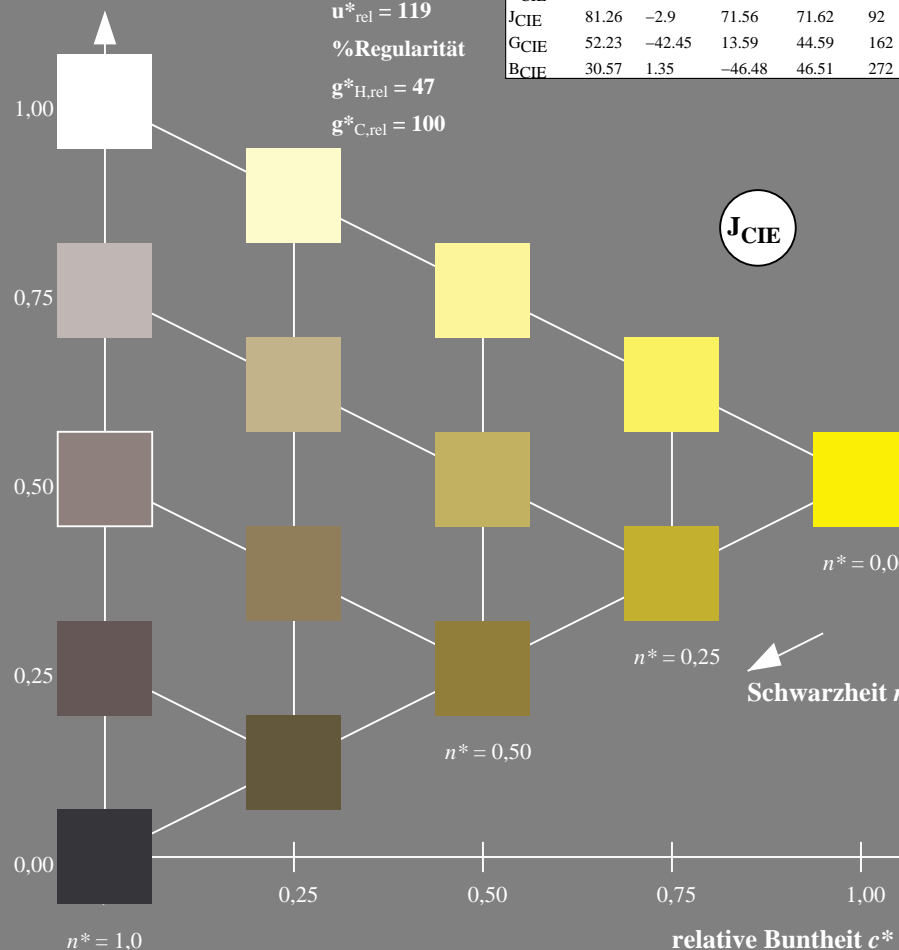
D65: Buntton J  
LCH\*Ma: 53 83 92  
rgb\*Ma: 0.98 1.0 0.0



NRS11; adaptierte CIELAB-Daten					
	$L^*=L^*_a$	$a^*_a$	$b^*_a$	$C^*_{ab,a}$	$h^*_{ab,a}$
RMa	53.2	77.06	34.32	84.36	24
JMa	53.2	-1.51	84.38	84.39	91
GMa	53.2	-82.27	18.98	84.44	167
G50B <sub>Ma</sub>	53.2	-77.72	-32.98	84.44	203
B <sub>Ma</sub>	53.2	4.37	-84.28	84.41	273
B50R <sub>Ma</sub>	53.2	69.09	-48.41	84.37	325
N <sub>Ma</sub>	10.99	0.0	0.0	0.0	0
W <sub>Ma</sub>	95.41	0.0	0.0	0.0	0
RCIE	39.92	58.69	27.98	65.01	25
J <sub>CIE</sub>	81.26	-2.9	71.56	71.62	92
G <sub>CIE</sub>	52.23	-42.45	13.59	44.59	162
BCIE	30.57	1.35	-46.48	46.51	272

Dreiecks-Helligkeit  $t^*$

%Umfang  
 $u^*_{rel} = 119$   
%Regularität  
 $g^*_{H,rel} = 47$   
 $g^*_{C,rel} = 100$

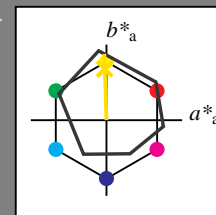


UG270-7, 5 stufige Reihen für konstanten CIELAB Buntton 92/360 = 0.256 (links)

### Ausgabe: Farbmimetrisches Reflexions-System ORS18

für Buntton  $h^* = lab^*h = 92/360 = 0.255$   
 $LAB^*LCH$ ,  $LAB^*NCH$

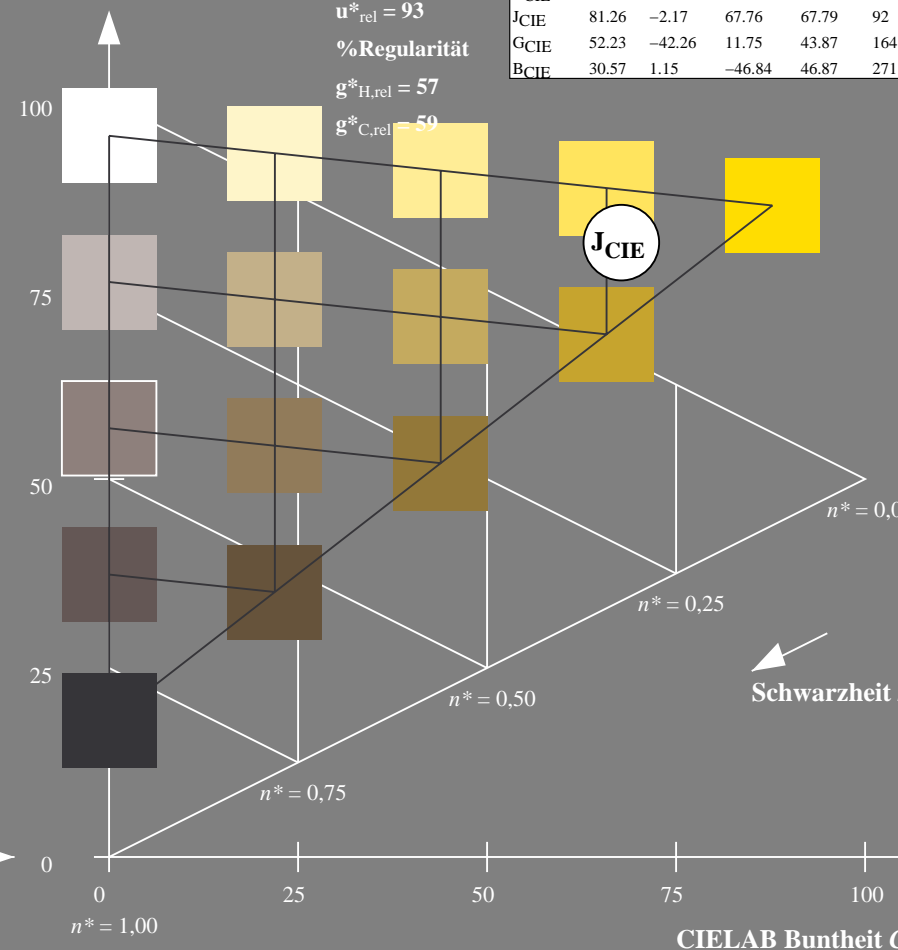
D65: Buntton J  
LCH\*Ma: 86 88 92  
rgb\*Ma: 1.0 0.9 0.0



ORS18; adaptierte CIELAB-Daten					
	$L^*=L^*_a$	$a^*_a$	$b^*_a$	$C^*_{ab,a}$	$h^*_{ab,a}$
OMa	47.94	65.37	50.52	82.62	38
YMa	90.37	-10.27	91.77	92.34	96
LMa	50.9	-62.79	34.95	71.87	151
CMa	58.62	-30.35	-45.01	54.3	236
V <sub>Ma</sub>	25.71	31.11	-44.42	54.24	305
M <sub>Ma</sub>	48.13	75.27	-8.35	75.73	354
N <sub>Ma</sub>	18.01	0.0	0.0	0.0	0
W <sub>Ma</sub>	95.41	0.0	0.0	0.0	0
RCIE	39.92	58.66	26.98	64.56	25
J <sub>CIE</sub>	81.26	-2.17	67.76	67.79	92
G <sub>CIE</sub>	52.23	-42.26	11.75	43.87	164
BCIE	30.57	1.15	-46.84	46.87	271

CIELAB-Helligkeit  $L^*$

%Umfang  
 $u^*_{rel} = 93$   
%Regularität  
 $g^*_{H,rel} = 57$   
 $g^*_{C,rel} = 59$



5 stufige Reihen für konstanten CIELAB Buntton 92/360 = 0.255 (rechts)

BAM-Prüfvorlage UG27; Farbmimetrik-Systeme NRS11 & ORS18input: *cmY0\* setcmykcolor*

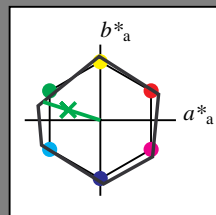
D65: Koordinaten-Systeme von 5stufigen Farbreihen für 10 Bunttoninput: *no change compared to input*



### Eingabe: Farbmimetrisches Reflexions-System NRS11

für Buntton  $h^* = lab^*h = 162/360 = 0.451$   
 $lab^*tch$  und  $lab^*nch$

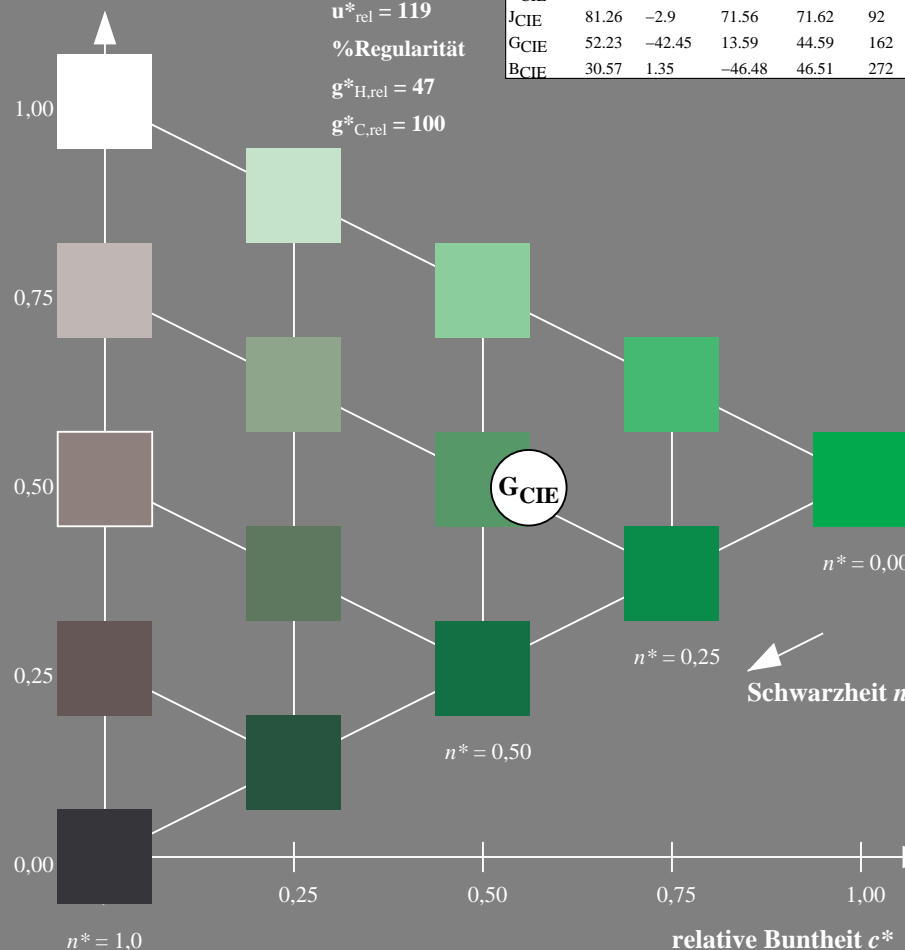
D65: Buntton G  
LCH\*Ma: 53 80 162  
rgb\*Ma: 0.08 1.0 0.0



NRS11; adaptierte CIELAB-Daten					
	$L^*=L^*_a$	$a^*_a$	$b^*_a$	$C^*_{ab,a}$	$h^*_{ab,a}$
RMa	53.2	77.06	34.32	84.36	24
JMa	53.2	-1.51	84.38	84.39	91
GMa	53.2	-82.27	18.98	84.44	167
G50BMa	53.2	-77.72	-32.98	84.44	203
BMa	53.2	4.37	-84.28	84.41	273
B50RMa	53.2	69.09	-48.41	84.37	325
NMa	10.99	0.0	0.0	0.0	0
WMa	95.41	0.0	0.0	0.0	0
RCIE	39.92	58.69	27.98	65.01	25
JCIE	81.26	-2.9	71.56	71.62	92
GCIE	52.23	-42.45	13.59	44.59	162
BCIE	30.57	1.35	-46.48	46.51	272

Dreiecks-Helligkeit  $t^*$

%Umfang  
 $u^*_{rel} = 119$   
%Regularität  
 $g^*_{H,rel} = 47$   
 $g^*_{C,rel} = 100$

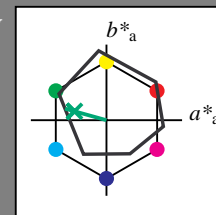


UG270-7, 5 stufige Reihen für konstanten CIELAB Buntton 162/360 = 0.451 (links)

### Ausgabe: Farbmimetrisches Reflexions-System ORS18

für Buntton  $h^* = lab^*h = 164/360 = 0.457$   
 $LAB^*LCH$ ,  $LAB^*NCH$

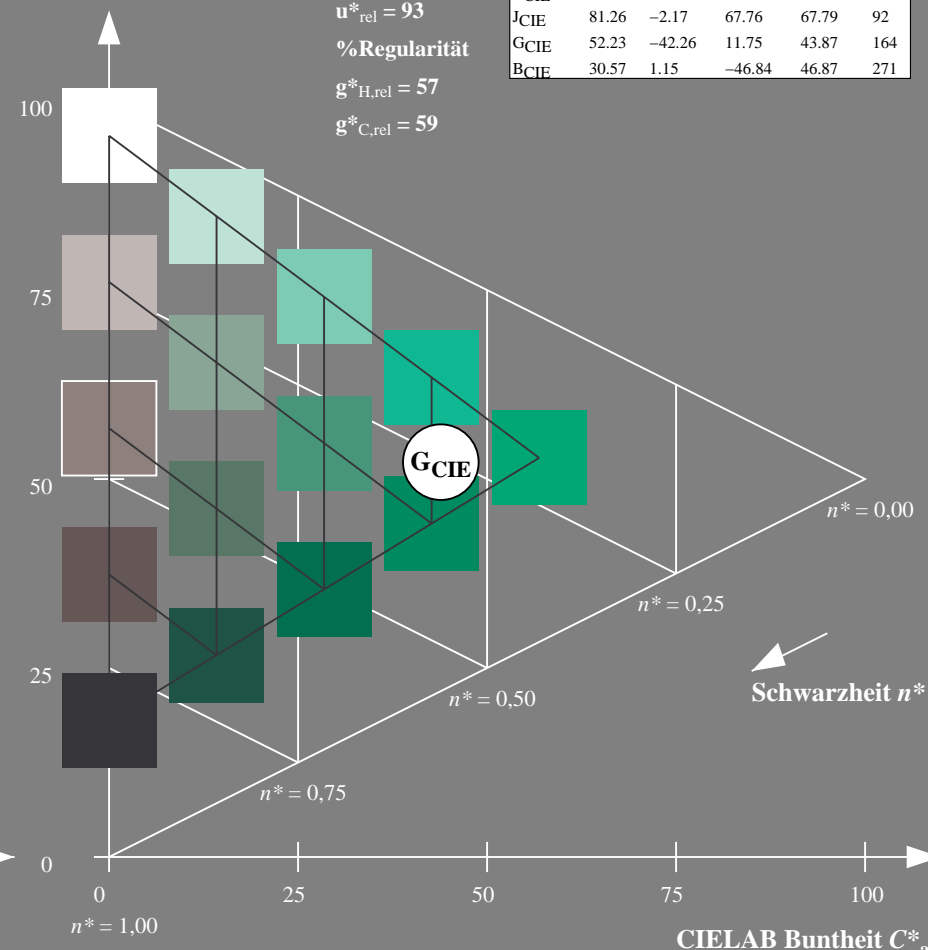
D65: Buntton G  
LCH\*Ma: 53 57 164  
rgb\*Ma: 0.0 1.0 0.25



ORS18; adaptierte CIELAB-Daten					
	$L^*=L^*_a$	$a^*_a$	$b^*_a$	$C^*_{ab,a}$	$h^*_{ab,a}$
OMa	47.94	65.37	50.52	82.62	38
YMa	90.37	-10.27	91.77	92.34	96
LMa	50.9	-62.79	34.95	71.87	151
CMa	58.62	-30.35	-45.01	54.3	236
VMa	25.71	31.11	-44.42	54.24	305
MMa	48.13	75.27	-8.35	75.73	354
NMa	18.01	0.0	0.0	0.0	0
WMa	95.41	0.0	0.0	0.0	0
RCIE	39.92	58.66	26.98	64.56	25
JCIE	81.26	-2.17	67.76	67.79	92
GCIE	52.23	-42.26	11.75	43.87	164
BCIE	30.57	1.15	-46.84	46.87	271

CIELAB-Helligkeit  $L^*$

%Umfang  
 $u^*_{rel} = 93$   
%Regularität  
 $g^*_{H,rel} = 57$   
 $g^*_{C,rel} = 59$



5 stufige Reihen für konstanten CIELAB Buntton 164/360 = 0.457 (rechts)

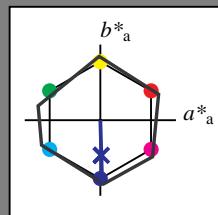
BAM-Prüfvorlage UG27; Farbmimetrische Systeme NRS11 & ORS18input: *cmY0\* setcmykcolor*

D65: Koordinaten-Systeme von 5stufigen Farbreihen für 10 Bunttoninput: *no change compared to input*

### Eingabe: Farbmimetrisches Reflexions-System NRS11

für Buntton  $h^* = lab \cdot h = 272/360 = 0,755$   
 $lab \cdot tch$  und  $lab \cdot nch$

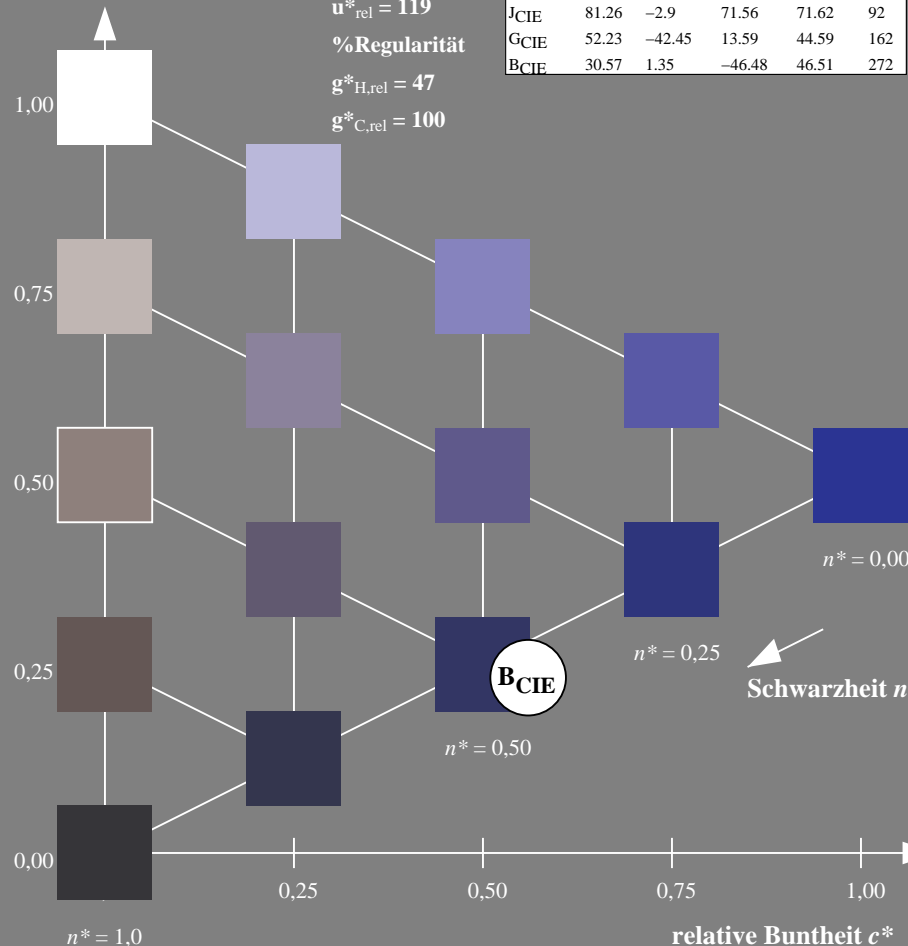
D65: Buntton B  
LCH\*Ma: 53 83 272  
rgb\*Ma: 0.0 0.02 1.0



NRS11; adaptierte CIELAB-Daten					
	$L^*=L^*_a$	$a^*_a$	$b^*_a$	$C^*_{ab,a}$	$h^*_{ab,a}$
RMa	53.2	77.06	34.32	84.36	24
JMa	53.2	-1.51	84.38	84.39	91
GMa	53.2	-82.27	18.98	84.44	167
G50BMa	53.2	-77.72	-32.98	84.44	203
BMa	53.2	4.37	-84.28	84.41	273
B50RMa	53.2	69.09	-48.41	84.37	325
NMa	10.99	0.0	0.0	0.0	0
WMa	95.41	0.0	0.0	0.0	0
RCIE	39.92	58.69	27.98	65.01	25
JCIE	81.26	-2.9	71.56	71.62	92
GCIE	52.23	-42.45	13.59	44.59	162
BCIE	30.57	1.35	-46.48	46.51	272

Dreiecks-Helligkeit  $t^*$

%Umfang  
 $u^*_{rel} = 119$   
%Regularität  
 $g^*_{H,rel} = 47$   
 $g^*_{C,rel} = 100$

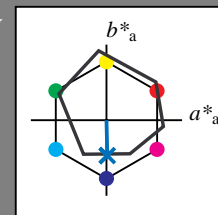


UG270-7, 5 stufige Reihen für konstanten CIELAB Buntton  $272/360 = 0,755$  (links)

### Ausgabe: Farbmimetrisches Reflexions-System ORS18

für Buntton  $h^* = lab \cdot h = 271/360 = 0,754$   
 $LAB \cdot LCH$ ,  $LAB \cdot NCH$

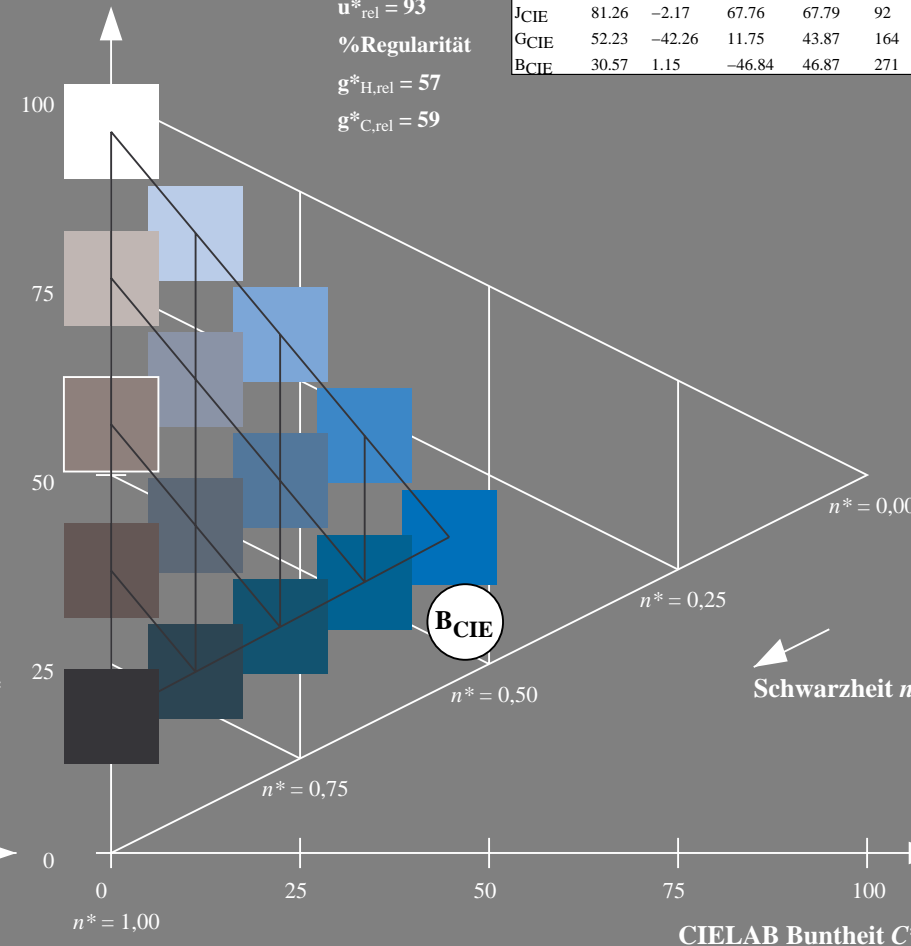
D65: Buntton B  
LCH\*Ma: 42 45 271  
rgb\*Ma: 0.0 0.49 1.0



ORS18; adaptierte CIELAB-Daten					
	$L^*=L^*_a$	$a^*_a$	$b^*_a$	$C^*_{ab,a}$	$h^*_{ab,a}$
OMa	47.94	65.37	50.52	82.62	38
YMa	90.37	-10.27	91.77	92.34	96
LMa	50.9	-62.79	34.95	71.87	151
CMa	58.62	-30.35	-45.01	54.3	236
VMa	25.71	31.11	-44.42	54.24	305
MMa	48.13	75.27	-8.35	75.73	354
NMa	18.01	0.0	0.0	0.0	0
WMa	95.41	0.0	0.0	0.0	0
RCIE	39.92	58.66	26.98	64.56	25
JCIE	81.26	-2.17	67.76	67.79	92
GCIE	52.23	-42.26	11.75	43.87	164
BCIE	30.57	1.15	-46.84	46.87	271

CIELAB-Helligkeit  $L^*$

%Umfang  
 $u^*_{rel} = 93$   
%Regularität  
 $g^*_{H,rel} = 57$   
 $g^*_{C,rel} = 59$



5 stufige Reihen für konstanten CIELAB Buntton  $271/360 = 0,754$  (rechts)

BAM-Prüfvorlage UG27; Farbmimetrik-Systeme NRS11 & ORS18input: *cmY0\* setcmykcolor*

D65: Koordinaten-Systeme von 5stufigen Farbreihen für 10 Bunttoninput: *no change compared to input*